## 抵抗変化メモリの抵抗状態と電子状態の相関関係

Correlation between resistive and electronic states of Resistive Random Access Memory 産総研<sup>1</sup>, 千葉工大<sup>2</sup> <sup>(M2)</sup> 菅原 広太<sup>1,2</sup>, 菅 洋志<sup>1,2</sup>, 内藤 泰久<sup>1</sup>, 島 久<sup>1</sup>, 秋永 広幸<sup>1</sup> AIST<sup>1</sup>, Chiba Tech<sup>2</sup>, <sup>°</sup>K. Sugawara<sup>1,2</sup>, H. Suga<sup>1,2</sup>, Y. Naitoh<sup>1</sup>, H. Shima<sup>1</sup>, and H. Akinaga<sup>1</sup>

E-mail: akinaga.hiro@aist.go.jp

## 背景・目的

抵抗変化メモリ(以下ReRAM)はエッジAI用途の次世代不揮発性メモリとして注目されており,抵抗値をアナログ的に変化させられることから,ニューロモルフィックデバイスにおける応用も期待される.しかし,ReRAMの抵抗変化の起源が,酸素イオンの移動を伴うものであることから,変化する抵抗値を正確に制御することが課題となっている.

電気伝導に寄与するキャリアの情報を様々な抵抗状態で測定することで,抵抗変化の信頼性向上にむけた研究開発を行っており,過去に我々は,低周波ノイズ分光(LFNS)法を用いて ReRAM の活性化エネルギー(伝導電子の散乱に寄与するトラップの深さ)を算出が可能であることを報告した[1].

今回, 低抵抗状態(LRS)と高抵抗状態(HRS)の2つの状態でそれぞれLFNS測定を行い, 求めた活性化エネルギーについて報告する.

## 実験方法

ワイヤーボンディングされた ReRAM をパッケ ージングし、冷凍機を備えた He チャンバー内で約 3.1 Kまで冷却する. 冷却を終えたら補助ヒーター を使用しながら約300Kまで温度を上昇させる. 半 導体パラメータアナライザー(Keysight, B1500A)を 用いて昇温中の ReRAM の電気特性を測定した. 測 定前の ReRAM は約  $7 k\Omega$  (0.1 V における抵抗値)の LRS であった、本実験で使用した ReRAM につい て、材料は上部電極から TiN / TaOx-L / TaOx-H / TiN, 厚さは TaOx-L と TaOx-H がそれぞれ 30 nm,素子 の幅は300 nmである. 温度に対する様々な周波数 を持つノイズのピーク強度を求め(Fig.1), アレニウ スプロットでフィッティングすることにより,活性 化エネルギー(Ea)を求めた(Fig.2). 今回は、伝導帯 における状態密度の温度依存性を取り入れた解析 とした[2]. 同様に、約 11 MΩ (0.1 V における抵抗 値)のHRSのReRAMについてもLFNS測定を行い, 解析を行った(Fig.3).

## 結果・考察

Fig.2 と Fig.3 で現れている 250 meV 以上の活性 化エネルギーは,酸素欠損に起因する準位であると 考えられる[3]. 現在,他の活性化エネルギーの解釈 について議論を進めている.

本成果の一部は,国立研究開発法人新エネルギー・産業技術総合開発機構 (NEDO) の委託業務の結果得られたものです.

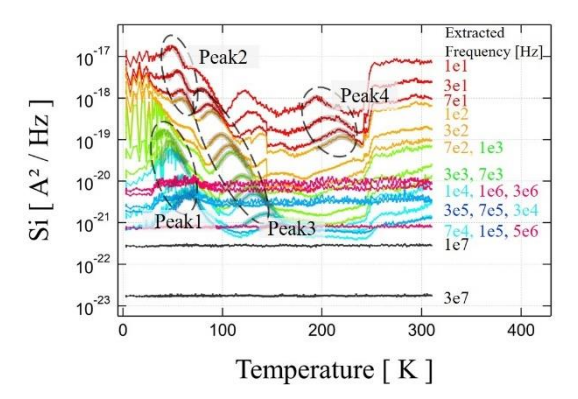


Fig. 1 Measurement result of LFN spectroscopy for LRS (7 k $\Omega$ , Read: 0.1 V).

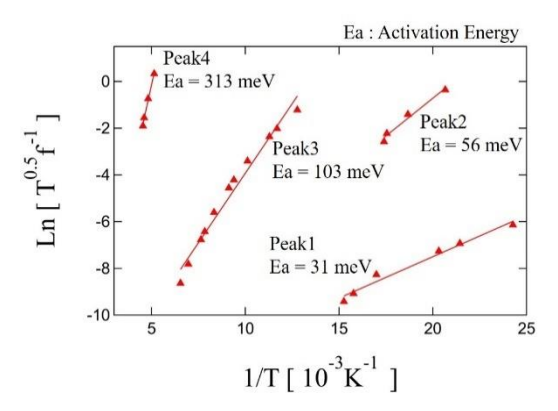


Fig.2 Arrhenius plot with each Peak in Fig.1.

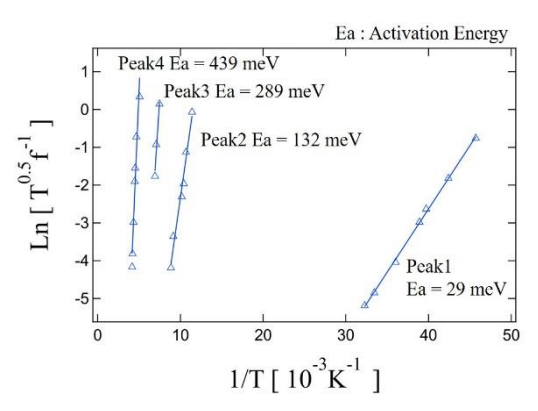


Fig.3 Arrhenius plot of HRS (11 M $\Omega$ , Read: 0.1 V).

- [1] 菅原 他, 第 68 回応用物理学会春季学術講演会, 16a-Z33-8 (2021).
- [2] K. Ohmori *et al*, VLSI Symposium on Technology, June 5-8, Kyoto, Japan (2017).
- [3] F. G. Ullman, *J. Phys. Chem. Solids*, **28**, p. 279 (1967).